

# プッシュオーバーアナリシスによるラーメン橋の解析

Push Over Analysis of a Frame Bridge

宇根寛\*、川島一彦\*\*、庄司学\*\*\*

Hiroshi UNE, Kazuhiko KAWASHIMA and Gaku SHOJI

\* 東京工業大学大学院理工学研究科土木工学科専攻 (〒152-8551 東京都目黒区大岡山2-12-1)

\*\* 工博 東京工業大学教授 工学部土木工学科 (同上)

\*\*\* 工修 東京工業大学助手 工学部土木工学科 (同上)

A prestressed concrete 3-span continuous framebridge was analyzed to study the effectiveness of the push over analysis. Since selection of the deformation mode shape is important in the push over analysis, three lateral force distribution shapes were assumed; an uniform distribution, a shape analog to the fundamental natural mode shape and a triangular mode shape. It is found that the lateral force distribution mode shapes are less sensitive to the lateral force vs. lateral displacement relation at the deck. This is due to the fact that the mass of superstructure is predominant than the mass of the columns. It is also found that the lateral force vs. lateral displacement relation evaluated by the push over analysis is close to that evaluated from the dynamic response analysis, and that the peak displacements estimated based on the equal-energy assumption and the equal-displacement assumption are close to the values estimated by the nonlinear dynamic response analyses.

*Key Word:* Seismic Design, Bridge, Push Over Analysis, Dynamic Response Analysis

## 1. はじめに

平成8年に道路橋示方書が改訂され、橋脚の塑性ヒンジにおける非線形性を取り入れた耐震設計が普及しだしてから、橋梁全体系の非線形性をどのように耐震解析に取り入れるかに関心が集まっている。地震時保有耐力法として道路橋示方書に規定されているのは、基本的には橋脚基部で塑性ヒンジができることを前提とした1基の下部構造とそれが支持する上部構造部分に分割したカンチレバー式単柱橋脚に対する規定であり、橋梁全体系としての地震力の分配をどのように考慮するかは今後の課題とされている。

この中で注目されるのは、プッシュオーバーアナリシスに基づく1層式のラーメン橋脚に対する耐震計算法が道路橋示方書に取り入れられたことである<sup>1)</sup>。プッシュオーバーアナリシスとは、非線形の構造系を対象に荷重漸増法で構造系全体の履歴曲線の骨格曲線を求め、崩壊過程を求める解析法<sup>2)</sup>であり、これにエネルギー一定則や変位一定則を取り入れて、非線形系の最大応答を近似的に求めることができる。プッシュオーバーアナリシスの適用性に関しては、主として建築物を対象にKrawinklerらにより検討されており、プッシュオーバーアナリシスそのものには厳密な理論的背景はないにも係わらず、建築系フレーム構造に対しては比較的精度の良い解が得られることが報告されている<sup>3)</sup>。地震時保有耐

力法に基づくラーメン橋の耐震設計に関して、伊津野らは橋脚をばねによって表した2次元簡易モデルの開発<sup>4)</sup>を試みており、また、鳴等はラーメン橋を支持する複数の橋脚のうち、背の低い橋脚が先行して曲げ破壊した後の剛性低下の影響を検討している<sup>5)</sup>。しかし、ラーメン橋のように不等橋脚を有する構造系に対するプッシュオーバーアナリシスの適用性はまだ十分検討されていないのが実状である。

このような観点から、本研究では、橋脚高さの異なるPC3径間連続ラーメン橋の橋軸方向の応答を対象に、プッシュオーバーアナリシスの適用性を非線形動的解析との比較によって検討したので、この結果を報告する。

## 2. プッシュオーバーアナリシスの基本

プッシュオーバーアナリシスは多自由度系構造物の最大応答が等価1自由度系の最大応答によって近似できることを基礎にしているが、解析法自体には厳密な裏付けがあるわけではない。いま、多自由度系の相対変位 $\{u\}$ が例えば桁の重心位置のようにある代表点の変位 $u_i$ によって次式のように与えられるとする。

$$\{u\} = \{\phi\} u_i \quad (1)$$

ここで、 $\{\phi\}$ は多自由度系の変形を表すベクトルで、以下、変形モードベクトルと呼ぶ。プッシュオーバーアナリシスでは非線形系の応答を対象としているから、変形モー

ドベクトルは固有振動モードとは同じではない。いま、構造物のある1つの主軸方向に入力地震動 $\ddot{u}_g$ が作用する場合には、運動方程式は次式のようになる。

$$[M]\{\phi\}\ddot{u}_t + [C]\{\phi\}\dot{u}_t + \{F\} = -[M]\{b\}\ddot{u}_g \quad (2)$$

ここで、 $[M]$ ：質量行列、 $[C]$ ：減衰行列、 $\{F\}$ ：復元力ベクトル、 $\{b\}$ ：入力ベクトルである。 $\{b\}$ は入力加速度が作用する自由度では1.0、それ以外の自由度では0の値が入ったベクトルである。

ここで、等価1自由度系の変位 $u^*$ を

$$u^* = \frac{\{\phi\}^T [M]\{\phi\}}{\{\phi\}^T [M]\{b\}} u_t \quad (3)$$

と定義し、式(2)に $\{\phi\}^T$ を前から乗じ、これに式(3)を代入すると、

$$m^* \ddot{u}^* + c^* \dot{u}^* + f^* = -m^* \ddot{u}_g \quad (4)$$

ここで、 $m^*$ 、 $c^*$ 、 $f^*$ は等価1自由度系のパラメータで、

$$m^* = \{\phi\}^T [M]\{b\} \quad (5)$$

$$f^* = \{\phi\}^T \{F\} \quad (6)$$

$$c^* = \{\phi\}^T [C]\{\phi\} \frac{\{\phi\}^T [M]\{b\}}{\{\phi\}^T [M]\{\phi\}} \quad (7)$$

従って、モーダルアナリシスによる多自由度線形構造解析と同様に、変形モードベクトル $\{\phi\}$ が与えられれば、式(4)から等価1自由度系の変位 $u^*$ が求められ、多自由度系の代表点における変位 $u_t$ が求められることになる。

式(4)を実際に解析する代わりに、等価1自由度系の最大応答から多自由度系の最大応答を推定しようというのがプッシュオーバーアナリシスである。多自由度系の代表点における変位 $u_t$ とその点における地震力の関係は、一般に荷重漸増法によって求めることができる。したがって、式(3)の関係から等価1自由度系の変位 $u^*$ と地震力の関係も求めることができる。このため、エネルギー一定則や変位一定則等の関係から等価1自由度系の最大応答が推定できれば、多自由度系の最大応答が推定できる。

以上のようにプッシュオーバーアナリシスで最大応答を推定する際には、変形モードベクトル $\{\phi\}$ をどのように与えるかが重要である。建築物を対象としたKrawinklerらの解析では、弾性の基本固有振動モードを使用してもある程度の精度で多自由度系の最大応答を解析できるこ

とが報告されている。

### 3. 解析対象橋

解析対象としたのは、図1に示すように橋長173mのPC3径間連続ラーメン橋であり、この橋軸方向の応答に着目することとする。本橋は、平成2年道路橋示方書に準拠して設計されており、設計震度は、橋脚1では橋軸方向には0.11、橋軸直角方向には0.16、橋脚2では橋軸方向、橋軸直角方向ともに0.21である。地盤種別は、橋台1及び橋脚1位置ではI種、橋脚2及び橋台2位置ではII種である。橋脚1の高さは44mであるのに対して、橋脚2は11mと、大きく高さが異なっている。橋脚1と上部構造がラーメン系を構成しており、両橋台では可動支承で、また、橋脚2ではゴム支承で支持されている。橋脚2においてゴム支承が用いられているのは、橋脚1と上部構造からなるラーメン系の大きな地震応答に対して橋脚2に生じる応答変位があまり大きくならないようにするためである。

橋としての質量分布を大まかに把握するために、上部構造、橋脚1、橋脚2に分けて総質量を求める、それぞれ、4600t、1698t、272tとなる。橋脚1は橋梁系全質量の25%を占めている。また、これを単純に各長さで割って単位長さあたりの質量を求める、上部構造、橋脚1、橋脚2に対して、それぞれ、26.6t/m、38.6t/m、24.8t/mとなる。橋脚1の質量が無視できないことがわかる。

橋脚1の代表的な配筋は図2に示すとおりである。図中に示す断面1～4区間は中空になっており、断面2～3区間では壁厚が750mmと一定となっている。断面2～3区間に着目すると、軸方向に直角な面（軸方向面）には、外側にはD51鉄筋が128mm～150mm間隔でダブルに、また、内側にはD25鉄筋が300mm間隔で、それぞれ配置されている。

一方、この区間の帯鉄筋だけを抜き書きしたものが、図3である。軸方向面に着目すると、外側にはD25鉄筋が150mm間隔でダブルで、また、内側にはD16鉄筋が300mm間隔の1段で、それぞれ配置されている。平成8年道路橋示方書では、帯鉄筋は150mm間隔で設

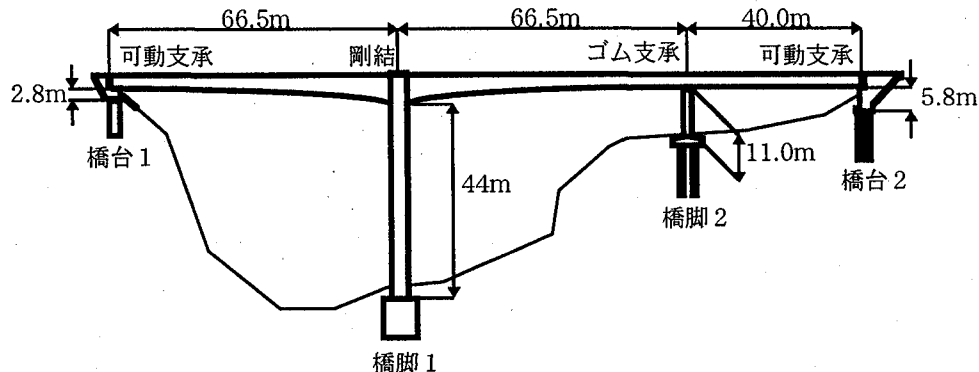
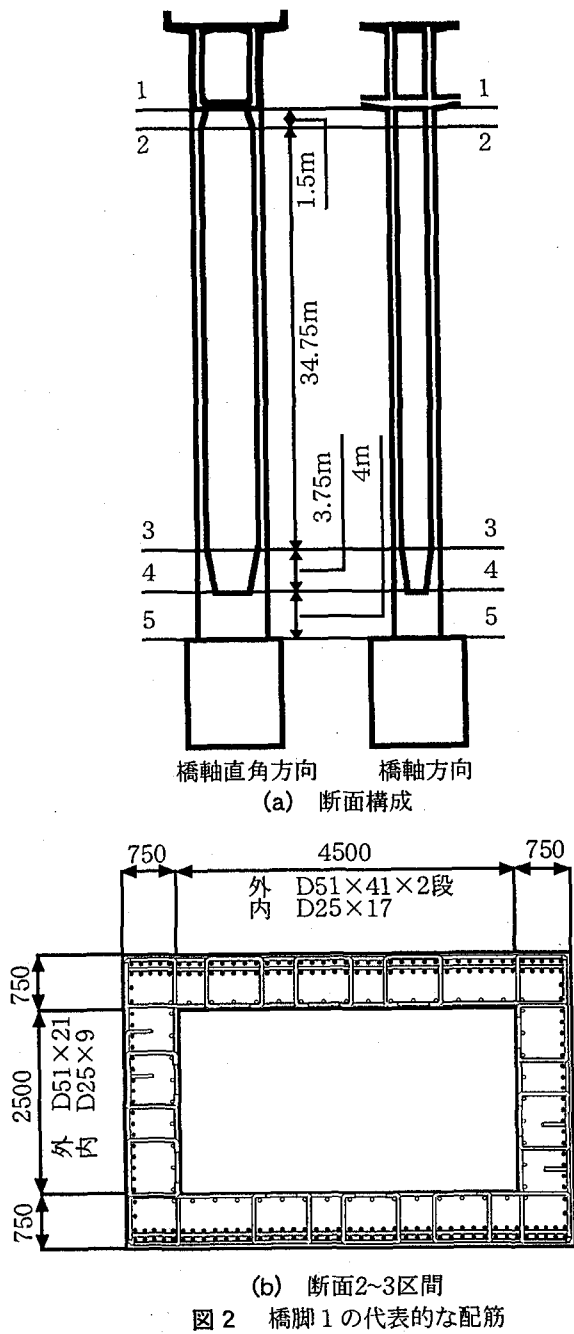


図-1 解析対象とするPC3径間連続橋



置することが規定されているが、この橋は平成2年道路橋示方書によって設計されているため、このような規定を満足していない。また、帯鉄筋の端も直角フックによってかぶりコンクリート中に定着されているだけである。

橋脚にはコの字型のD16の組立鉄筋(つなぎ筋)が外側と内側の帯鉄筋を結ぶように300mm間隔で入れられている。これも被りコンクリート中に直角フックで定着されているだけである。

橋脚の終局耐力や許容じん性率を平成8年道路橋示方書に基づいて求めるためには、帯鉄筋比が必要とされる。平成8年道路橋示方書では、帯鉄筋比(体積比)の算定式が示されているが、これは帯鉄筋が同間隔で配置され、かつ、中間帯鉄筋も帯鉄筋と同径、同間隔で配置される

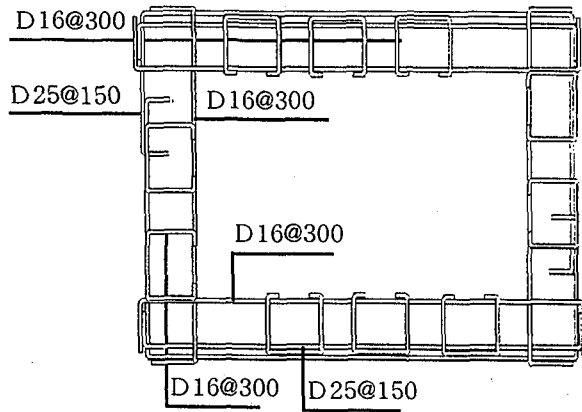


図3 帯鉄筋の配置(橋脚1、断面2~3区間)

ことを前提としており、図2のような配筋に対する適用には注意する必要がある。このため、ここでは、次式によって帯鉄筋比 $\rho_s$ を求ることとした。

$$\rho_s = \frac{V_s}{V_c} \quad (8)$$

ここで、 $V_s$ : 帯鉄筋の体積、 $V_c$ : コンクリートの体積である。ただし、式(8)を用いるに際して、以下の2点を仮定することとした。

(1) 帯鉄筋やつなぎ筋はいずれも直角フックによって被りコンクリート中に定着されているため、被りコンクリートのはく離後、コアコンクリートを有効に拘束できるかが疑問であるが、本解析の目的が本ラーメン橋の耐震性評価にあるわけではないことから、ここでは、一応これらが平成8年道路橋示方書に規定される帯鉄筋や中間帯鉄筋と同等にコアコンクリートを拘束できると仮定する。

(2) 内側の帯鉄筋はコアコンクリートの拘束には有効に機能しないため、この半分の量を帯鉄筋とみなすことと仮定する。

以上のようにして、図3から帯鉄筋比を求ると、1.31%となる。中空断面であるため、コンクリート体積 $V_c$ が小さく、比較的帯鉄筋比 $\rho_s$ が大きく求められる。

なお、同様にして橋脚1の基部の中実部(断面4~5区間)や橋脚2の帯鉄筋比を求ると、それぞれ、0.65%、0.45%となる。断面3~4区間や断面1~2区間では、壁厚が少しづつ変化しているが、ここでは簡単のため、断面2~3区間と同じ壁厚を仮定した。

後述するように、橋脚1では、断面4~5区間に塑性ヒンジが生じる。従って、以下ではここを橋脚1の基部と呼ぶこととする。道路橋示方書に基づいて橋脚1及び橋脚2の基部における曲げモーメント-曲率の関係を完全弾塑性型にモデル化すると、図4のようになる。ただし、ここではタイプII地震動を仮定した場合の結果を示している<sup>1)</sup>。

解析では、上部構造、橋脚を図5に示すように56要素、60接点数から成るはりモデルに置換し、地盤条件の影響は地盤ばねによって与えた。ここで、地盤ばねは道路橋

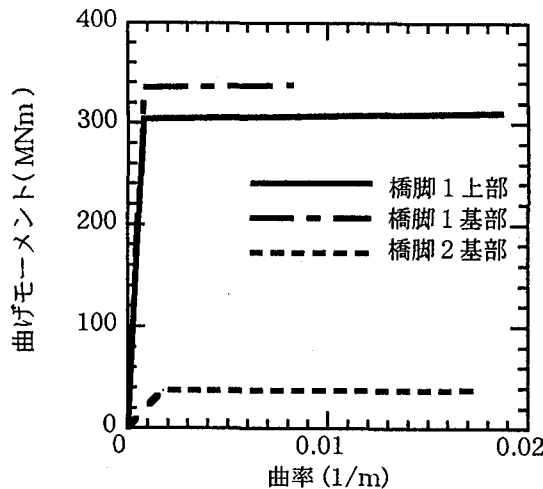


図4 橋脚の曲げモーメント-曲率の関係  
タイプII地震動の場合

表1 固有振動特性(1次~10次)

次数	固有周期(s)	刺激係数		有効質量	
		橋軸方向	上下方向	橋軸方向	上下方向
1	2.01	23.72	0.20	562.9	0.0
2	0.52	-3.44	2.75	11.8	7.6
3	0.32	-0.01	10.26	0.0	105.3
4	0.26	4.46	0.57	19.9	0.3
5	0.23	-0.94	-15.26	0.9	233.0
6	0.18	-5.12	3.84	26.3	14.7
7	0.14	2.55	3.95	6.5	15.6
8	0.12	-0.34	-4.49	0.1	20.1
9	0.11	0.76	0.05	0.6	0.0
10	0.11	-3.45	-0.49	0.1	0.2

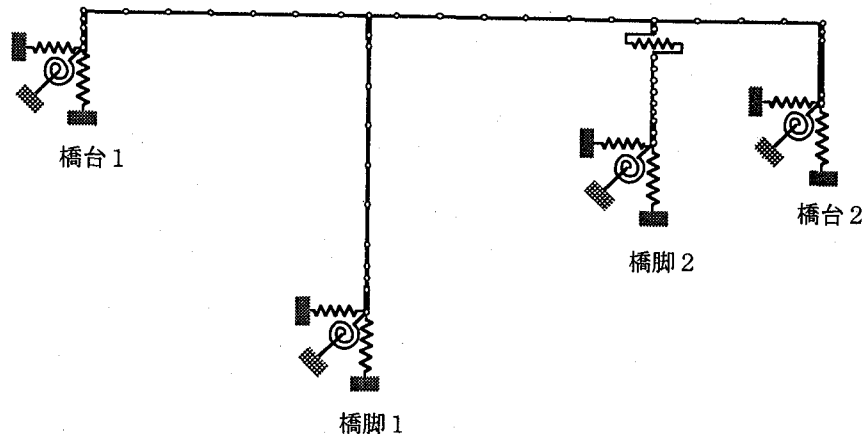


図5 解析モデル

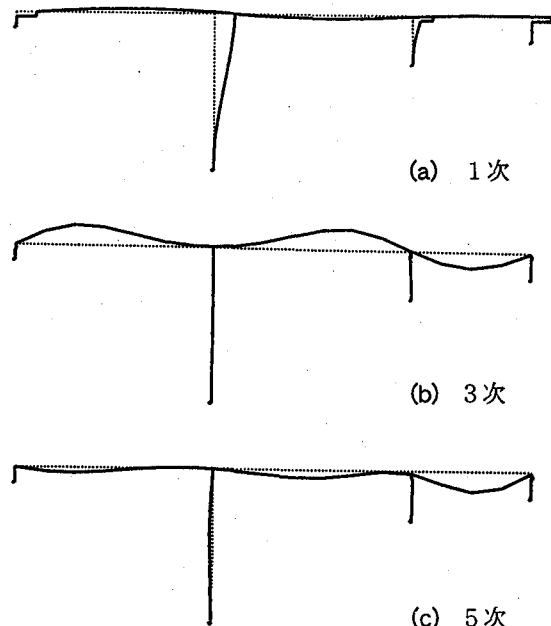


図6 主要な固有振動モード

示方書に従って求めている。橋脚の非線形は、Takeda モデルによって与えた<sup>6)</sup>。ただし、道路橋示方書に基づき、初期クラック点は無視し、降伏剛性と降伏後剛性から成る剛性低下型のバイリニアモデルを用いた<sup>1)</sup>。また、ラーメン橋では応答に伴い橋脚に作用する軸力が時間とともに変化するため、橋脚の曲げモーメント-曲率の関係は軸力によって変化することになる。ここでは、このような軸力変動の影響は考慮しないこととし、常時の軸力から求められる曲げモーメント-曲率の関係を用いることとした。ラーメン橋に対する軸力変動の影響については、いろいろ検討されているが、ここでは、動的解析とブッシュオーバーアナリシスが同一条件で行われている限り、動的解析との比較の上で、ブッシュオーバーアナリシスの適用性を検討する際の問題はない判断したためである。

このようにして、降伏剛性を用いて1次~10次の固有振動特性を求めた結果が表1である。1次固有周期が2.01sと長く、2次以下の固有周期とかけ離れている。橋軸方向には1次が、また、上下方向には3次と5次が卓越している。これらの振動モードを求めた結果が図6で

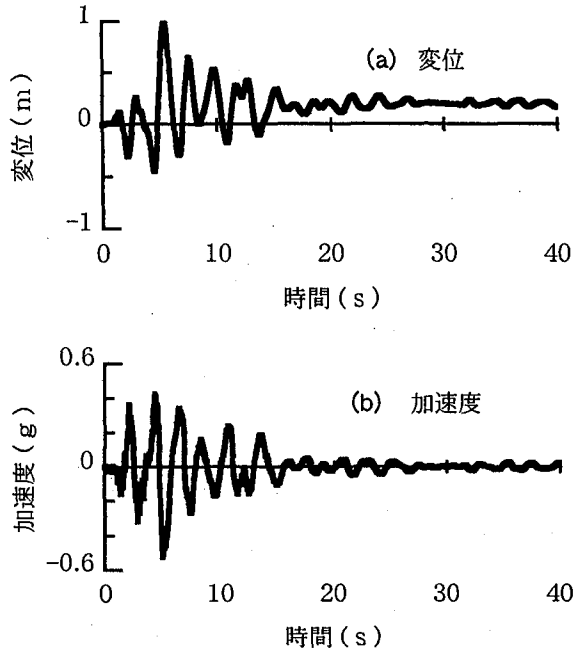


図7 桁の応答（鷹取記録を作用させた場合、橋脚1位置）

ある。1次振動モードは、主として桁の並進にともなう橋脚1の並進モードである。ラーメンであるため、橋脚天端の回転と桁の上下方向の変形も現れている。橋脚2位置では、ゴム支承の変形により、橋脚の変形が小さく抑えられている。

#### 4. 動的解析による非線形応答特性

図5に示したモデルを用いて、ラーメン橋の非線形動的解析を行った。入力地震動は、兵庫県南部地震により神戸海洋気象台で得られたNS成分記録（以下、神戸海洋気象台記録と呼ぶ）、JR鷹取駅で得られたNS成分記録<sup>7)</sup>（以下、鷹取記録と呼ぶ）の他、道路橋示方書に示されるⅡ種地盤の設計加速度応答スペクトル（タイプI地震動及びタイプII地震動）に適合するように振動数領域で振幅調整<sup>8)</sup>した標準波形である。この中では、鷹取記録による応答が一般に大きいため、以下には、主として鷹取記録に対する応答を中心に示すこととする。

鷹取記録が作用した場合の桁の応答を示すと、図7のようになる。これは、橋脚1位置の応答を示したものであるが、桁の軸方向の剛性が大きいため、他の箇所においてもこれとほとんど変わらない。後述するブッシュオーバーアナリシスにおいて、橋を1自由度系で近似する際、式(1)による代表点をどこに取ればよいかが重要であるが、実際に橋脚1位置と橋脚2位置の間に生じる桁の軸方向の伸縮量を求めるとき、最大でも1mm程度に過ぎない。このため、5章に示すブッシュオーバーアナリシスでは、橋脚1位置の桁を代表点と見なすこととする。最大加速度は0.52 g、最大変位は約1mに達し、最終的に0.17 m程度の残留変位が生じている。これは、橋脚の

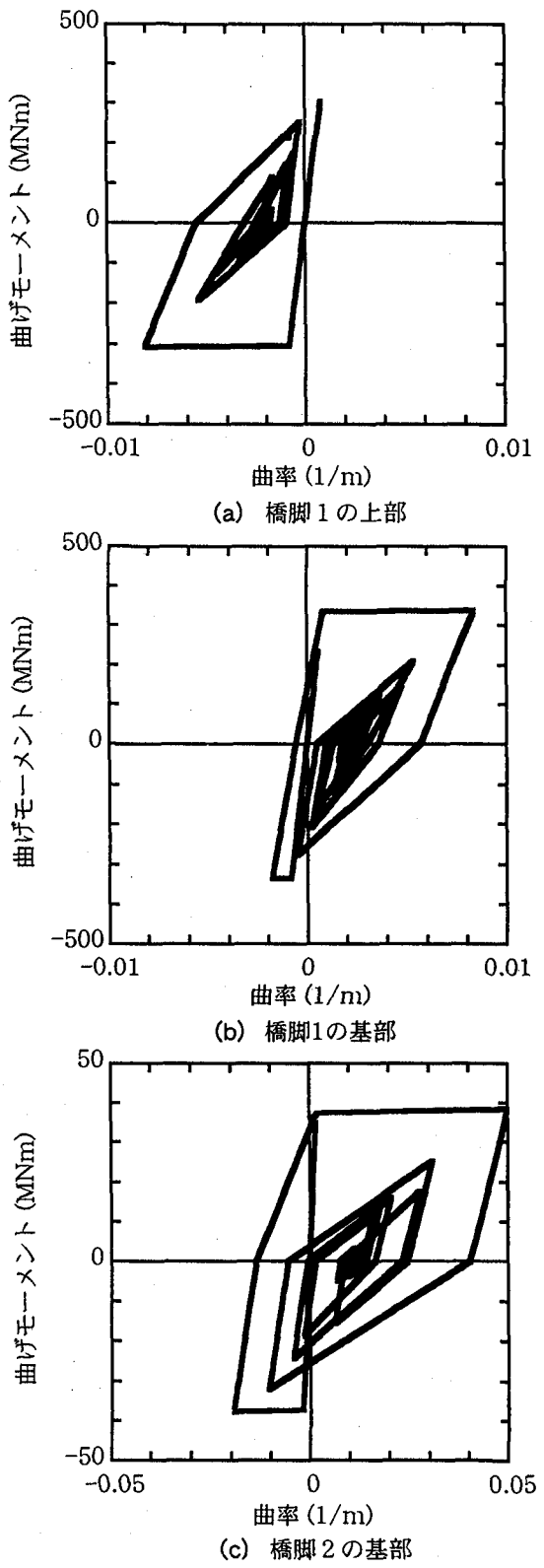


図8 橋脚の曲げモーメント-曲率の関係  
(鷹取記録を作用させた場合)

非線形応答によるもので、橋脚の曲げモーメント-曲率の関係を示すと、図8のようになる。橋脚1では、基部と上部でほぼ同程度の曲率が生じている。橋脚2の方が橋脚1よりもはるかに曲率が大きいが、これは前述したように橋脚2の高さが橋脚1の約1/4と低いため、ゴム支承を用いてはいるが、桁の応答を吸収するためには、

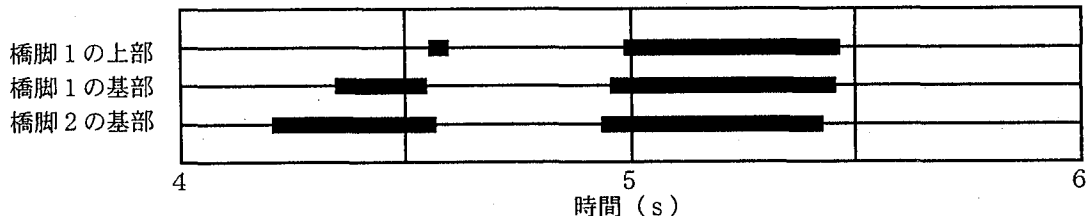


図9 橋脚に塑性化が生じる時間（鷹取記録を使用させた場合）

表2 橋脚に生じる最大曲率( $\times 10^{-4}/\text{m}$ )

入力地震動	橋脚1上部	橋脚1基部	橋脚2基部
神戸海洋気象台記録	7.6	7.9	76.9
鷹取記録	81.2	83.4	500.0
タイプI標準波形	21.8	35.2	300.8
タイプII標準波形	44.8	49.6	376.2

橋脚2では橋脚1に比較して塑性ヒンジ区間により大きな曲率を要するためである。

橋脚に生じる最大曲率を、他の入力地震動に対しても示すと、表2のようになる。神戸海洋気象台記録を入力した場合、橋脚1に塑性化は生じないが、タイプI、タイプII標準波形を入力した場合には上述した鷹取記録の場合と同じ特性となっている。

図9は、橋脚の塑性化がどのような順番で生じたかを示したものである。鷹取記録を使用させた場合に塑性化する時間が最も長いため、この例を示しているが、これによれば塑性化は2回生じている。1回目に着目すると、橋脚2の基部で4.2sに塑性化が始まり、その後0.14s、0.25s後に、それぞれ橋脚1の基部及び上部に塑性化が生じている。塑性化は、橋脚2の基部に最初に生じ、以下、橋脚1の基部、上部の順に生じるが、塑性化が生じる時間には大きな違いではなく、各塑性ヒンジはほぼ同じ時間帯に塑性化することができる。

図10は、橋脚に生じる最大軸力及び曲げモーメントを示したものである。軸力については、常時荷重による値も比較のために示している。橋脚2では、桁-橋脚1から構成されるラーメン系の地震応答に伴って、常時軸力を大きく上回る軸力が生じる。橋脚1ではこうした地震応答に伴う軸力変動は大きくない。橋脚1の曲げモーメントが橋脚中間高さで小さいのは、ラーメン橋であるためである。曲げモーメント、軸力とも4種類の入力地震動によって大きく変化していない。

上部構造に生じる変位と加速度応答がそれぞれ最大となる瞬間ににおける変位応答、加速度応答の分布を示した結果が、図11、図12である。当然ながら、最大変位が生じる瞬間の変位応答の分布は図6に示した1次固有振動モードとほぼ同じである。加速度応答に対しては、1次固有振動モード以外にも各種の振動モードが寄与するため、1次固有振動モードのように単純ではない。

橋梁全体系を1自由度系によって表すために、式(1)に

よる代表点の変位 $u_i$ として、橋脚1位置の上部構造の変位を用いることとする。上述したように、桁の軸方向の変形は小さく、どの位置を代表点としてもほとんど後述する結果には関係しない。橋脚1と橋脚2の上端に作用するせん断力を加え合わせた値を、桁に作用した水平力であるとし、代表点における水平変位 $u_i$ -水平力の関係を求めるとき、図13のようになる。図中には、後述するブッシュオーバーアナリシスによる結果も示されている。入力地震動によって非線形化の度合いが異なるが、水平力-水平変位の基本的な関係はほとんど変わらない。

## 5. ブッシュオーバーアナリシスによる解析

ブッシュオーバーアナリシスでは、荷重漸増法によって逐次水平力を作用させていく。橋脚に最初の降伏が生じるまでは系は弾性であるため、容易に解析できるが、橋脚に最初の降伏が生じてからは、荷重ステップを小さくして解析する必要がある。本解析では、1ステップの水平荷重を橋の重量の1/10000とした。このようにしても、橋脚1の基部と上部、橋脚2の基部の3カ所の塑性ヒンジのうちの最後の3番めが降伏した瞬間に構造系の全体剛性がゼロとなり、荷重漸増法ではこれ以上の解析はできない。したがって、この段階以後は、橋の幾何学的な形状をもとに、以下のように各塑性ヒンジ区間ににおける塑性回転角を求め、これをもとに、代表点における終局変位を求めた。

$$u = u_Y + H_j \theta_{pi} \quad (i=1, 2, 3, j=1, 2) \quad (9)$$

ここで、

$$\theta_{pi} = (\phi_{ui} - \phi_{Yi}) L_{pi} \quad (10)$$

$$H_1 = h_1 - L_{plu}/2 - L_{pll}/2 \quad (\text{橋脚 } 1) \quad (11)$$

$$H_2 = h_2 - L_{p2}/2 \quad (\text{橋脚 } 2) \quad (12)$$

ここで、 $\phi_{ui}$ ：第*i*番目の塑性ヒンジの終局曲率

( $i=1, 2, 3, j=1, 2$ )、 $\phi_{Yi}$ 、 $u_Y$ ：3カ所の塑性ヒンジのうち、2カ所が降伏し、最後の3カ所目が降伏する瞬間までに第*i*番目の塑性ヒンジに生じていた曲率とその時の代表点における変位、 $h_1$ 、 $h_2$ ：橋脚1、2の高さ、 $L_{plu}$ 、 $L_{pll}$ ：橋脚1の上部及び基部における塑性ヒンジ長、 $L_{p2}$ ：橋脚2の基部における塑性ヒンジ長である。ここで、前述したように、終局曲率 $\phi_{ui}$ はタイプI地震動とタイプII地震動では異なる<sup>1)</sup>ため、式(9)～(12)を用いて水平力-水平変位の関係を求めるとき、2種類の関係が求められる

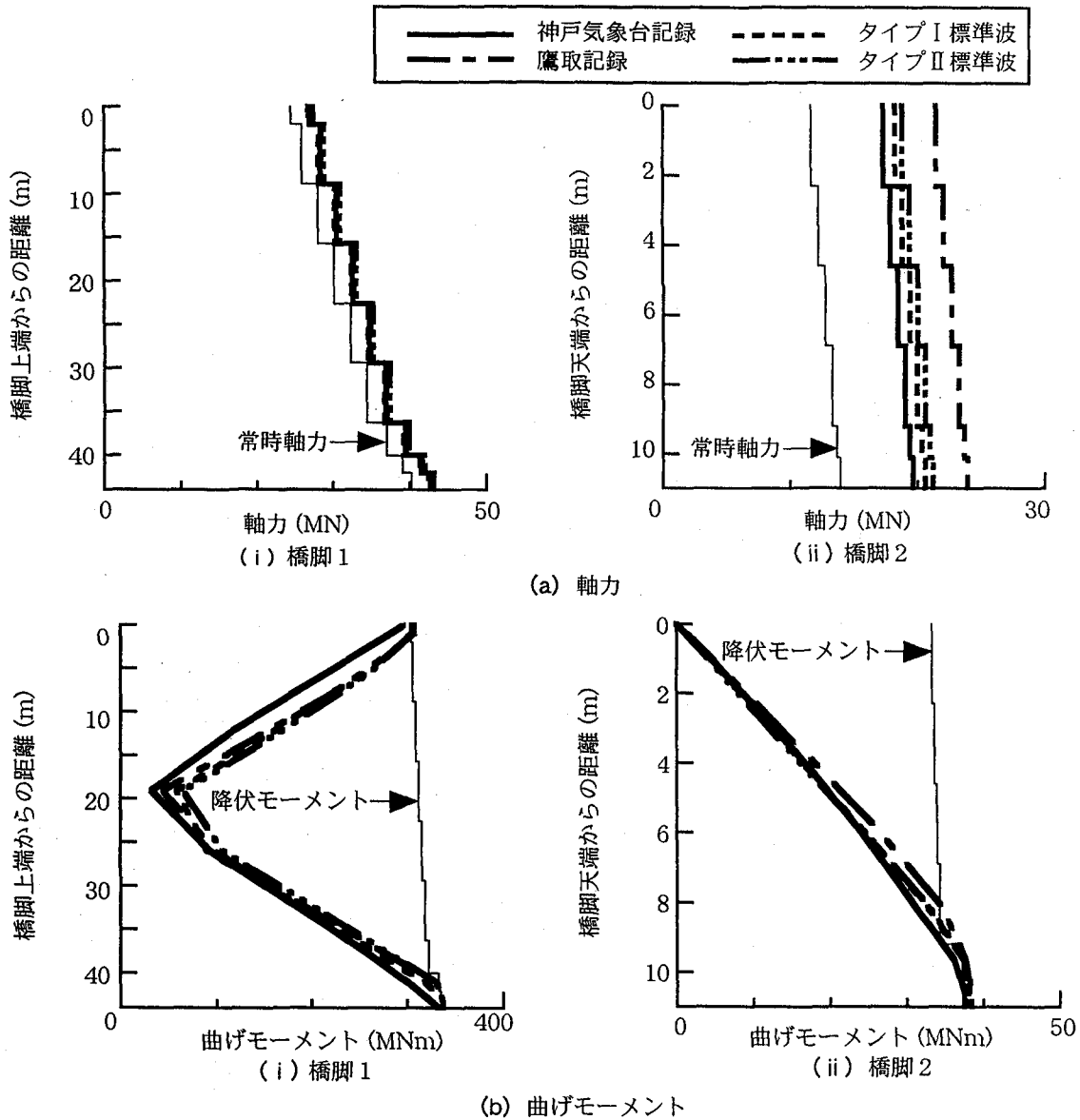


図10 橋脚に生じる最大断面力

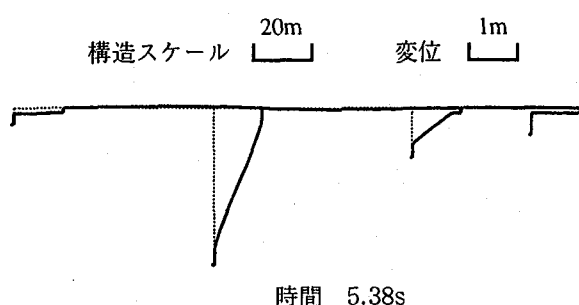


図11 上部構造に生じる変位が  
最大となる瞬間の変位応答  
(鷹取記録を作用させた場合)

ことになる。以下には、水平変位が大きく求められるタイプII地震動に対する結果を示すこととする。これは、本解析の目的が非線形動的解析とブッシュオーバーアナリシスの比較にあり、地震動特性の違いによる終局変位の違いを議論することにはないためである。

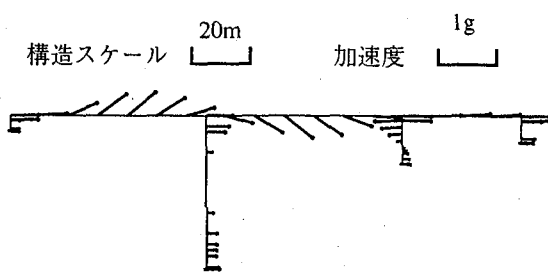


図12 上部構造に生じる加速度が  
最大となる瞬間の加速度応答  
(鷹取記録を作用させた場合)

ブッシュオーバーアナリシスでは、どのように式(1)による変形モードベクトル $\{\phi\}$ を与えるかが重要である。荷重漸増法では、変形を与えることは一般に容易ではないため、ここでは増分荷重の分布に着目し、以下の3種類の増分荷重分布を検討することとした。

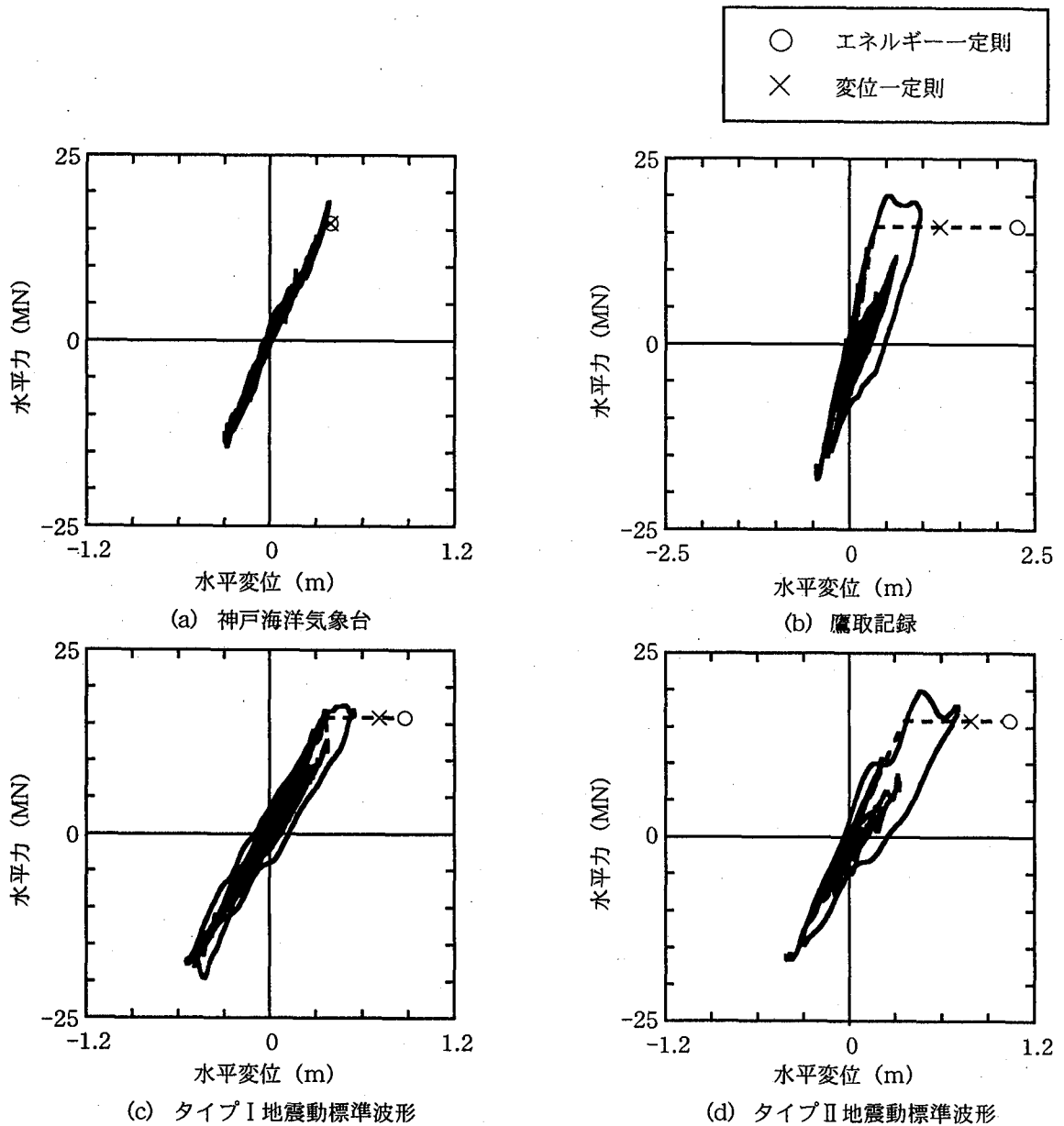


図13 動的解析から求めた上部構造位置の履歴特性とブッシュオーバーアナリシスによって求めた水平力-水平変位の関係の比較

- (1) 高さ方向に一様な増分荷重を与える場合
- (2) 図6に示した1次固有振動モードに比例して、増分荷重を与える場合
- (3) 橋脚基部で0、橋脚天端で1の逆三角形状に増分荷重を与える場合

以上の3種類の増分荷重分布を仮定して、上部構造の水平変位-水平力の関係を求める、図14のようになる。ここで、上部構造の水平変位とは、橋脚1上の桁の水平変位であり、上部構造の水平力とは、橋脚1、橋脚2上端におけるせん断力の和を表している。1次固有振動モード形を仮定した場合と橋脚基部で0、橋脚天端で1の逆三角形を仮定した場合にはともにほとんど同じ水平力-水平変位の関係を与える。高さ方向に一様な増分荷重分布を与えた場合には、これらよりも7%程度小さな降伏

荷重となるが、全体的な傾向はほとんど変わらない。高さ方向に一様な増分荷重分布を仮定した場合に、1次固有振動モード形を仮定した場合や逆三角形を仮定した場合よりも多少降伏荷重が小さくなるのは、橋脚部に作用する地震力が大きいためである。

動的解析では、図9に示したように、最初に橋脚2の基部が降伏し、次に橋脚1の基部、上部の順に降伏していくが、ブッシュオーバーアナリシスでは上記3種類のいずれの増分荷重形を仮定しても、これと同じ順番で降伏が生じる。したがって、塑性ヒンジが降伏する順番には増分荷重分布形の影響はない。

動的解析によって求めた履歴特性とブッシュオーバーアナリシスによって求めた水平力-水平変位の関係を比較した結果が、図13である。ここでは、図13のように

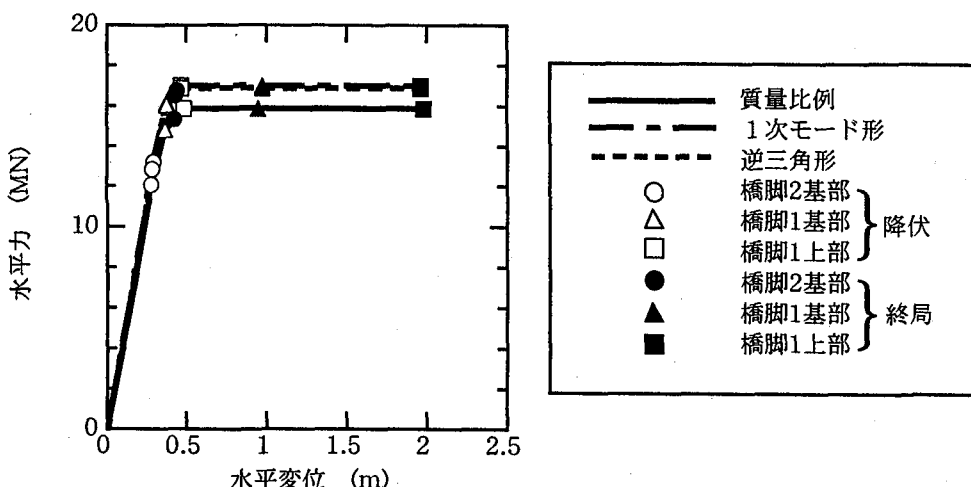


図14 プッシュオーバーアナリシスによって求めた水平力-水平変位の関係

表3 プッシュオーバーアナリシスに基づきエネルギー一定則及び変位一定則によって推定した最大応答変位

入力 地震動	プッシュオーバーアナリシス		非線形 動的解析
	エネルギー一定則	変位一定則	
神戸海洋 気象台記録	0.40m (1.03)	0.39m (1.02)	0.39m
鷹取記録	2.27m (2.31)	1.24m (1.26)	0.98m
タイプI 地震動標準波	0.88m (1.59)	0.71m (1.29)	0.55m
タイプII 地震動標準波	1.04m (1.46)	0.79m (1.12)	0.71m

注) ( ) 内は、動的解析結果に対する比

水平力-水平変位の関係を完全バイリニア型と仮定し、エネルギー一定則及び変位一定則を用いることによって弾性応答から推定した非線形系の最大応答変位を示している。これによれば、プッシュオーバーアナリシスによって求めた降伏力は動的解析によって求められる降伏力に比較して約21%小さい。これは、図12に示したように、動的解析では上部構造や橋脚に生じる加速度分布がプッシュオーバーアナリシスで仮定したように一様ではないためである。

また、最大応答変位は、プッシュオーバーアナリシスの方が動的解析結果よりも大きな値を与え、また、エネルギー一定則と変位一定則を比較すると、エネルギー一定則の方がより大きな最大応答変位を与える。これを最大応答に着目して比較した結果が表3である。わずかしか非線形域に入らない神戸海洋気象台記録を入力した場合を別にすると、エネルギー一定則を用いた場合には平均して79%、変位一定則を用いた場合には平均して22%、それぞれ動的解析結果よりも最大応答変位を大きく評価する。エネルギー一定則の方が変位一定則よりも大きな最大応答変位を与えるは、固有周期が2.01秒と比較的長いためと考えられる。

## 6. 結論

プッシュオーバーアナリシスによるラーメン橋の解析精度を検討するため、PC3径間連続ラーメン橋の橋軸方向を対象として、プッシュオーバーアナリシスと動的解析結果を比較した。本解析結果から得られた結論は、以下の通りである。

(1) プッシュオーバーアナリシスでは変形モードベクトルの選定が重要であるが、増分荷重の分布を上下方向に一様と仮定しても、1次固有振動モード形にしたり、橋脚基部で0、橋脚天端で1の逆三角形にしても、上部構造の水平力-水平変位の関係には顕著な違いは生じない。これは、上部構造重量が橋脚重量よりも卓越しているためである。また、橋脚に生じ得る3カ所の塑性ヒンジが、どのような順番で降伏し、終局に達するかも、上記の増分荷重の分布によらず同じであり、さらに、動的解析結果とも一致する。

(2) プッシュオーバーアナリシスにより、上部構造位置の水平力-水平変位の関係を求めるに、動的解析によって求められる結果に比較して、降伏力を20%程度小さく評価する。これは、動的解析では上部構造や橋脚に生じる加速度分布が一様ではないのに対して、プッシュオーバーアナリシスではこれを一様と仮定しているためである。

(3) プッシュオーバーアナリシスによって求めた上部構造の水平力-水平変位の関係を用い、エネルギー一定則、変位一定則を用いて上部構造に生じる最大応答変位を推定すると、動的解析結果よりもそれぞれ約79%、22%大きい。エネルギー一定則と変位一定則を比較すると、エネルギー一定則の方がより大きな最大応答変位を与えるのは、固有周期が2.01秒と長いためであると考えられる。

## 謝辞

本解析に用いたラーメン橋の特性に関しては、建設技術研究所・技術四部の後藤和満氏、清水隆史氏のご指導を得ました。ここに記して厚くお礼申し上げます。

## 参考文献

- 1) 日本道路協会：道路橋示方書、1996
- 2) M.J.N.Priestly, F.Seible and G.M.Calvi: Seismic Design and Retrofit of Bridges, Wiley Interscience, 1996, 川島一彦監訳：橋梁の耐震設計と耐震補強、技報堂、1998.
- 3) Krawinkler, H. and Seneviratna, G. D. P. K.: Pros and Cons of a Pushover Analysis of Seismic Performance Evaluation, Engineering Structures, Vol. 20, No. 4-6, pp. 452-464, 1998
- 4) 伊津野和行他：曲線ラーメン橋梁の耐震設計手法に関する検討、第1回地震時保有耐力法に基づく橋梁の耐

震設計に関するシンポジウム、pp. 123-126, 1998

5) 嶋利幸、川神雅秀、大塚久哲：耐力低下勾配を考慮した不等高橋脚を有するRCラーメン橋の変形性能に関する考察、第1回地震時保有耐力法に基づく橋梁の耐震設計に関するシンポジウム、pp. 127-130, 1998

6) Takeda, T., Sozen, M. A. and Nielsen, N. N. : Reinforced Concrete Response to Simulated Earthquakes, Proc. 3rd Japan Earthquake Symposium, pp. 357-364, 1970

7) Nakamura, Y.: Waveform and Its Analysis of the 1995 Hyogo-ken-nanbu Earthquake, JR Earthquake Information, No. 23c, Railway Research Institute, 1995

8) 荒川直士、川島一彦、相沢興：応答スペクトル特性を調整した時刻歴地震応答解析用入力地震動波形、土木技術資料、Vol. 26-7、pp. 392-397、昭和 59 年

(1998.9.18 受付)